

## 1 Wprowadzenie

W wielu problemach grafowych, grafy poddawane są dynamicznym zmianom, takim jak dodawanie, usuwanie wierzchołków lub krawędzi.

W ostatnich 20 latach rosło zainteresowanie grafami, które zmieniają swoją strukturę w czasie. W wyniku czego powstało wiele efektywnych algorytmów i struktur danych, które rozwiązują dynamiczne problemy grafowe.

**Definicja Uaktualnieniem grafu** będziemy nazywać operacje, która wstawia lub usuwa krawędzie czy wierzchołki lub zmienia wartości z nimi związane np. wagi.

**Definicja Graf dynamiczny** jest to graf poddany sekwencji uaktualnień.

Celem dynamicznych algorytmów grafowych jest efektywne uaktualnianie rozwiązania problemu po zmianie struktury grafu, zamiast każdorazowego budowania rozwiązania od początku używając statycznego algorytmu. Chcemy także minimalizować czas pojedynczej operacji uaktualnienia.

W naszych rozważaniach,  $n$  będzie oznaczało liczbę wierzchołków w grafie. Grafy będziemy oznaczać literą  $G$ , lasy literą  $F$ , a drzewa literą  $T$ .

Usunięcie wierzchołka będziemy rozumieć jako usunięcie wierzchołek oraz wszystkich krawędzi z nim incydentnych.

## 2 Podział problemów

Dynamiczne problemy grafowe możemy podzielić według rodzaju operacji, które są dozwolone:

**Definicja** Problem nazywamy **w pełni dynamicznym**, jeśli dozwolone jest zarówno wstawianie i usuwanie wierzchołków oraz krawędzi.

**Definicja** Problem nazywamy **wstępującym**, jeśli dozwolone jest tylko wstawianie.

**Definicja** Problem nazywamy **zstępującym**, jeśli dozwolone jest tylko usuwanie.

Zaprezentujemy jeden problem w pełni dynamiczny oraz jeden zstępujący. Wstępujący problem spójności grafu można rozwiązać używając struktury danych UNION-FIND w czasie  $O(\alpha n)$ , gdzie  $\alpha$  to liczba uaktualnień i zapytań.

### 3 Plan wykładu

W pierwszej części zaprezentujemy strukturę danych - ET drzewo, na której będą bazować algorytmy przedstawiane w dalszej części wykładu:

- W pełni dynamiczny algorytm rozwiązujący problem spójności grafu.
- Zstępujący algorytm znajdujący minimalne drzewo spinające grafu.

### 4 ET drzewa

#### 4.1 Wprowadzenie

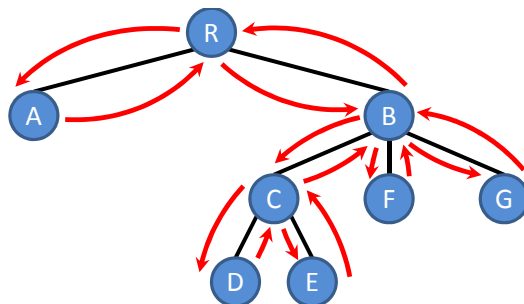
Oba zaprezentowane algorytmy będą używały ET drzew jako struktury danych. ET drzewa zostały wynalezione przez M.Henzinger i V.King w ich wspólnej pracy [1].

Drzewo, które będziemy chcieli reprezentować przy pomocy ET drzewa będziemy nazywać drzewem reprezentowanym.

Dla przypomnienia, cyklem Eulera w grafie nazywamy cykl, który przechodzi każdą krawędź dokładnie raz. Jako cykl Eulera po ukorzenionym drzewie  $T$ , będziemy rozumieć cykl Eulera po grafie  $G$ , powstałym z  $T$  przez zastąpienie każdej krawędzi przez dwie krawędzie skierowane w przeciwnych zwrotach. Cykl ten zaczyna się i kończy w korzeniu  $T$ .

Cykl Eulera po drzewie  $T$ , przechodzi każdą krawędź dokładnie dwa razy: raz wchodząc do poddrzewa do którego prowadzi krawędź, a drugi raz wychodząc z tego poddrzewa. Możemy myśleć o cyklu Eulera po drzewie  $T$  jako o DFS, który zaczyna się i kończy w korzeniu **Rysunek 1**.

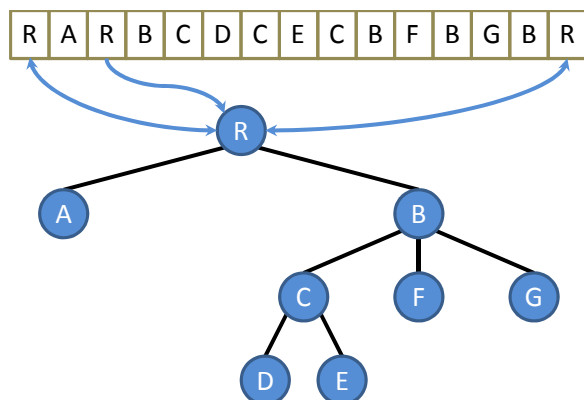
**Wniosek** ET drzewo będzie miało  $O(n)$  wierzchołków.



**Rysunek 1:** Przykładowe drzewo  $T$  oraz jego cykl Eulera. Porządek w jakim wierzchołki są odwiedzane pokazują czerwone strzałki - zaczynamy od korzenia  $R$ . Sekwencja kolejnych odwiedzeń to:  $R A R B C D C E C B F B G B R$ .

ET drzewo reprezentuje sekwencję odwiedzin kolejnych wierzchołków w cyklu Eulera po drzewie  $T$ . Sekwencję będziemy przechowywać używając zbalansowanego drzewa binarnego, wzbogaconego o operacje na listach - **SPLIT**( $v$ ) oraz **JOIN**( $v$ ,  $w$ ). Kluczem węzła w tym drzewie będzie jego czas odwiedzenia w cyklu Eulera po drzewie reprezentowanym. Łatwą implementacją jest drzewo splay.

Każdy wierzchołek w drzewie  $T$ , które chcemy reprezentować będzie zawierał wskaźnik do pierwszego oraz ostatniego odwiedzenia w sekwencji reprezentowanej przez ET drzewo **Rysunek 2**.



**Rysunek 2:** ET drzewo reprezentuje sekwencję odwiedzeń wierzchołków, która zaczyna się i kończy w korzeniu. Wskaźniki z tej sekwencji prowadzą do wierzchołków reprezentowanego drzewa. Każdy wierzchołek z reprezentowanego drzewa ma wskaźniki do pierwszej i ostatniej wizytacji w sekwencji. (na rysunku zaznaczone są jedynie wskaźniki prowadzące od i do korzenia).

ET drzewa przechowują w łatwy sposób informacje o poddrzewach reprezentowanego drzewa. Rozważmy wierzchołek  $v$  z drzewa, które chcemy reprezentować. Wszystkie wierzchołki z poddrzewa ukorzenionego w  $v$  znajdują się w ET drzewie pomiędzy pierwszym, a ostatnim odwiedzeniem  $v$ .

## 4.2 Operacje

Chcemy na ET drzewie wykonywać 3 podstawowe operacje:

- **FINDROOT( $v$ )** - znajduje korzeń drzewa, które zawiera  $v$ . W cyklu Eulera po drzewie  $T$  korzeń jest odwiedzany pierwszy oraz ostatni. Wystarczy więc wyszukać minimum lub maksimum w ET drzewie.
- **CUT( $v$ )** - Chcemy odciąć poddrzewo ukorzenione w  $v$ . Cykl Eulera po poddrzewie ukorzenionym w  $v$ , jest jednym spójnym blokiem sekwencji wizytacji zaczynającym się i kończącym w  $v$ . Wystarczy więc wykonać operację listową **SPLIT** przed pierwszym odwiedzeniem  $v$  oraz po ostatnim odwiedzeniu  $v$ . W wyniku tych operacji dostaniemy ET drzewo poddrzewa ukorzenionego w  $v$  oraz 2 ET drzewa, które pokrywają sekwencję odwiedzenia przez wejściem do poddrzewa  $v$  oraz po wyjściu z niego. Wykonujemy **JOIN** na tych 2 ostatnich sekwencjach. W wyniku dostaniemy ET drzewo odciętego poddrzewa ukorzenionego w  $v$  oraz ET drzewa  $T$  bez poddrzewa ukorzenionego w  $v$ .
- **LINK( $v, w$ )** - Chcemy umieścić krawędź pomiędzy dwoma drzewami, które zawierają odpowiednio  $v$  oraz  $w$ . Wierzchołek  $v$  ma zostać synem  $w$ . W ET drzewie taka operacja musi umieszczać sekwencję przejścia poddrzewa ukorzenionego w  $v$  bezpośrednio po pierwszym odwiedzeniu  $w$  oraz bezpośrednio przed jego drugim odwiedzeniem. Możemy to zrobić wykonując **SPLIT** na ET drzewie zawierającym  $w$  zaraz po pierwszym odwiedzeniu  $w$ . Wystarczy teraz połączyć część do pierwszego odwiedzenia  $w$ , ET drzewo w którym znajdują się  $v$ , drzewo złożone z singletona  $w$  oraz część po pierwszym odwiedzeniu  $w$ .

Wszystkie powyższe 3 operacje wymagają stałej ilości standardowych operacji, które działają na zbalansowanym drzewie binarnym w czasie  $O(\log n)$ , stąd każda z nich wymaga czasu  $O(\log n)$

## 5 Problem spójności dynamicznego grafu

Chcemy odpowiadać na pytania postaci:

- $\text{CONNECTED}(v, w)$  - zwraca TRUE wtedy i tylko wtedy gdy istnieje ścieżka z  $v$  do  $w$  w grafie.
- $\text{CONNECTED}(G)$  - zwraca TRUE wtedy i tylko wtedy gdy graf  $G$  jest spójny.

Przedstawimy algorytm, który uaktualnia strukturę grafu w czasie  $O(\log^2 n)$  oraz odpowiada na powyższe pytania w czasie  $O(\log n)$ .

Gdybyśmy rozważali wariant wstępujący tego problemu, możemy rozwiązać go w następujący sposób:

- zbudować las spinający  $F$  grafu  $G$ .
- zastosować ET drzewo do zarządzania tym lasem.

W pełni dynamicznej wersji problemu, nie jest już tak łatwo.

**Idea:** Będziemy przechowywać  $\log n$  lasów spinających  $F_0, F_1, \dots, F_{\log n}$ . Każdy jako ET drzewo.

Każdej krawędzi przypiszemy rangę. Ranga będzie liczbą naturalną z przedziału od 0 do  $\log n$ . Będzie ona mogła jedynie zmniejszać się w czasie.

**Definicja**  $G_i$  będzie grafem składającym się z krawędzi o randze nie większej niż  $i$ . Wtedy  $G = G_{\log n}$ .

**Definicja**  $F_i$  będzie lasem spinającym grafu  $G_i$ .

W czasie działania algorytmu będziemy utrzymywać 2 niezmienniki:

**Niezmiennik 1** Każda spójna składowa  $G_i$  ma co najwyżej  $2^i$  wierzchołków.

**Niezmiennik 2**  $F_{\log n}$  jest minimalnym lasem spinającym grafu  $G$ , używając rangi krawędzi jako wagi.  $F_i = G_i \cap F_{\log n}$ .

Chcemy, żeby nasza struktura składająca się z  $\log n$  lasów spinających implementowała poniższe 4 operacje:

- $\text{INSERT}(e=(v, w))$ :

Chcemy umieścić w grafie krawędź  $(v, w)$ . Ustawiamy rangę tej krawędzi na  $\log n$  oraz uaktualniamy listy sąsiedztwa  $v$  oraz  $w$ , dodając odpowiedni wierzchołek do nich. Dodatkowo wywołujemy procedury  $\text{FINDROOT}(v)$  oraz  $\text{FINDROOT}(w)$ . Jeśli ich wyniki są różne, to w wyniku dodania krawędzi drzewa zawierające  $v$  oraz  $w$  połączą się. Jeśli tak jest, dodajemy krawędź  $e$  do  $F_{\log n}$ .

- **DELETE( $e=(v,w)$ ):** Najpierw usuń krawędź  $e$  z list sąsiedztwa  $w$  oraz  $v$ , następnie:
  - jeśli  $e$  należy do  $F_{\log n}$ :
    - usuń  $e$  z każdego  $F_i$  dla  $i \geq \text{ranga}(e)$ .
    - poszukaj krawędzi zastępczej, która połączy  $v$  oraz  $w$ :
      - krawędź zastępcza nie może mieć rangi mniejszej niż  $\text{ranga}(e)$  z niezmiennika 2 - każdy  $F_i$  jest MST względem rangi krawędzi.
    - for  $i = \text{ranga}(e)$  to  $\log n$ 
      - niech  $T_v$  będzie drzewem zawierającym  $v$ , a  $T_w$  drzewem zawierającym  $w$ .
      - w razie potrzeby zamieńmy  $v$  z  $w$  aby zachodziło  $|T_v| \leq |T_w|$ .
      - z niezmiennika 1, wiemy, że  $|T_v| + |T_w| \leq 2^i$ , stąd  $|T_v| \leq 2^{(i+1)}$ , a to oznacza, że możemy zdegradować wszystkie krawędzie z  $T_v$  do poziomu  $i-1$ , zachowując dalej niezmiennik.
      - dla każdej krawędzi  $e' = (x, y)$ , gdzie  $x$  należy do  $T_v$  oraz  $\text{ranga}(e') = i$ :
        - jeśli  $y$  należy do  $T_w$ : dodaj  $e'$  do  $F_i, F_{(i+1)}, \dots, F_{\log n}$ .
        - w.p.p. zmniejsz range  $e'$  do  $i-1$ .
  - **CONNECTED( $v, w$ ):**

Odpowiada na pytanie, czy istnieje ścieżka z  $v$  do  $w$ :

return FINDROOT( $v$ ) == FINDROOT( $w$ ) w  $F_{\log n}$
  - **CONNECTED( $G$ )**

$r = \text{PATH-UP}(v)$ , gdzie  $v$  jest dowolnym wierzchołkiem z  $G$ .

if size[ $v$ ] =  $n$  then  
   return TRUE  
 else  
   return FALSE

    - **PATH-UP( $v$ )** zwraca korzeń ET drzewa zawierającego  $v$  - nie mylić z korzeniem drzewa reprezentowanego. Wędruje w górę ET drzewa.
    - **size[ $v$ ]** zwraca ilość wierzchołków w poddrzewie ET drzewa zakorzenionego w  $v$  wraz z  $v$ . Zarządzamy tą wartością przez wzbogacenie zbalansowanego BST, w którym przechowujemy ET drzewo. Nie zmienia to asymptotycznego kosztu operacji na tym BST.

Dodatkowo musimy wzbogacić naszą strukturę danych, aby móc wykonywać DELETE w rządany czasie:

- chcemy sprawdzać czy  $|T_v| \leq |T_w|$  w  $O(1)$ , możemy to zrobić przez standardowe wzbogacenie struktury przez związanie rozmiarów poddrzew z wierzchołkami.
- dla każdego wierzchołka w poddrzewie ukorzenionym w  $v$  w  $F_i$ : chcemy sprawdzać czy poddrzewo ukorzenione w  $v$  zawiera jakieś wierzchołki incydentne do krawędzi o randze  $= i$ . Szukamy następnej krawędzi o randze  $i$  incydentnej do jakiegoś  $x$  należącego do  $T_v$  w  $O(\log n)$  znajdując następnika w drzewie i skacząc po pustych poddrzewach.

## Analiza kosztu

- INSERT: - stała liczba podstawowych operacji na ET drzewie, każda działa w czasie  $O(\log n)$  stąd czas działania INSERT wynosi  $O(\log n)$ .
- CONNECTED( $v, w$ ): - dwa wywołania FINDROOT, każde działa w czasie  $O(\log n)$  stąd cała procedura działa w czasie  $O(\log n)$ .
- CONNECTED( $G$ ) - jedno przejście w górę drzewa o wysokości  $O(\log n)$  - czas  $O(\log n)$ .
- DELETE
  - Główny koszt to usuwanie krawędzi z co najwyżej  $\log n$  lasów spinających, każde usunięcie zajmuje czas  $O(\log n)$ , stąd koszt to  $O(\log^2 n)$ .
  - Szukanie krawędzi zastępczej. Tutaj analiza jest zamortyzowana i opiera się na fakcie, że ranga każdej krawędzi jest zmniejszana co najwyżej  $\log n$  razy, a najbardziej zewnętrzna pętla, w której to robimy wykonuje się też  $\log n$  razy, stąd zamortyzowany koszt szukania krawędzi zastępczej wynosi  $O(\log^2 n)$ .
  - Całkowity koszt DELETE jest zamortyzowany i wynosi  $O(\log^2 n)$ .

### Poprawienie czasu

Czysto teoretycznie, możemy poprawić czas odpowiadania na pytania oraz czas wykonywania uaktualnień grafu. Osiągniemy to używając do przechowywania naszych lasów spinających B-drzew o stopniu  $O(\log n)$  zamiast drzew BST. W rezultacie otrzymujemy poniższe czasy:

- CONNECTED -  $O(\log n / \log \log n)$ .
- INSERT -  $O(\log^2 n / \log \log n)$ .
- DELETE -  $O(\log^2 n / \log \log n)$ .

## 6 Zstępujący algorytm MST

Zaprezentuję algorytm i strukturę danych do utrzymywania lasu rozpinającego. Będąc precyzyjnym algorytm i struktura danych zużywa  $O\left(n^{\frac{1}{3}} \log n\right)$  zamortyzowanego czasu na operację uaktualnienia grafu. Dodatkowo jest w stanie odpowiadać na pytanie w  $O(1)$  jest to czas najgorszego przypadku. Rozważmy problem utrzymania minimalnego lasu rozpinającego (*msf*) podczas wykonywania operacji usuwania krawędzi. Załóżmy że mamy ważony graf  $G = \langle V, E \rangle$ , gdzie  $V$  to zbiór wierzchołków ( $|V| = n$ ), a  $E$  to zbiór krawędzi ( $|E| = m$ ). Chcemy utrzymywać minimalny las rozpinający  $F$  podczas wykonywania operacji uaktualniania grafu:

- *delete*( $u, v$ ): Usuwamy krawędź  $\{u, v\}$  z grafu  $G$ . Jeśli  $\{u, v\} \in F$ , to:
  - usuwamy  $\{u, v\}$  z  $F$ .
  - zwracamy najbliższą krawędź  $e \in G \setminus F$  która połączy na nowo  $F$ , jeśli taka krawędź  $e$  nie istnieje zwracamy *null*.

Co więcej struktura będzie pozwalała odpowiadać na następujące pytanie:

- $connected(u, v)$ : zwraca *true* jeśli między wierzchołkami istnieje ścieżka oraz *false* jeśli taka ścieżka nie istnieje.

W 1985 Fredrickson wprowadził strukturę danych *topology trees*, która rozwiązywała ten problem w czasie  $O(\sqrt{m})$  jest to czas potrzebny na przeprowadzenie aktualizacji. Czas poświęcony na odpowiedź na pytanie czy istnieje ścieżka pomiędzy dwoma wierzchołkami to  $O(1)$ . W 1992 Eppstein osiągnął czas  $O(\sqrt{n})$  używając *sparsification technique*. W 1997 Monika Rauch Henzinger i Valerie King zaprezentowały strukturę danych, która porzebuje  $O(n^{\frac{1}{3}} \log n)$  zamortyzowanego czasu na aktualizację i odpowiada na pytania w  $O(1)$  jest to czas najgorszego przypadku. Ten algorytm zostanie przedstawiony w poniższym dokumencie.

## 7 Utrzymywanie minimalnego lasu rozpinającego

Przedstawię teraz algorytm służący do utrzymywania minimalnego lasu rozpinającego z dozwoloną operacją usuwania krawędzi. Bez straty ogólności założymy, że wagi na krawędziach są rozróżnialne. Na początku wyliczamy minimalny las rozpinający  $F$  dla grafu  $G$ . Możemy użyć do tego algorytmu Prima używającego kopców fibonacciego. Czas poświęcony na wyliczenie msf to  $O(m + n \log n)$ . Niech  $m'_{in}$  oznacza liczbę krawędzi nie będących w  $F$  a będących w  $G$  (*niedrzewnych*), mam tutaj na myśli stan  $F$  i  $G$  na początku (przed wykonaniem aktualizacji na strukturze). Ponadto niech  $k = m'^{\frac{1}{3}}_{in} \log n$ . Sortujemy niedrzewne krawędzie względem wagi i rozmieszczamy je w  $m'_{in}/k$  poziomach, każdy poziom ma rozmiar  $k$ .  $K$  najbliższych znajdzie się na poziomie 0, kolejne  $k$  najbliższych znajdzie się na poziomie 1 i tak dalej. Zbiór krawędzi z poziomu  $i$  oznaczmy przez  $E_i$ . Co więcej wszystkie krawędzie należące do  $F$  (drzewne) umieszczamy w  $E_0$ .

Podczas wykonywania algorytmu, poziom przypisany do krawędzi pozostaje niezmienny.  $F$  oznacza minimalny las rozpinający dla całego grafu  $G$ . Dla każdego  $i = 0, 1, \dots, (m'_{in}/k) - 1$  niech  $F_i$  oznacza minimalny las rozpinający dla grafu ze zbiorem wierzchołków  $V$  i zbiorem krawędzi  $\bigcup_{j \leq i} E_j$ . Na początku dla każdego  $i$ ,  $F_i = F$ , jednakże podczas wykonywania aktualizacji struktury może się to pozmieniać, ponieważ niedrzewne krawędź z dowolnego poziomu może stać się krawędzią drzewną. Mamy następujący niezmiennik  $F_0 \subseteq F_1 \subseteq \dots \subseteq F_{(m'_{in}/k)-1} = F$ , który zostaje zachowany podczas działania algorytmu. Niech  $T_i(x)$  oznacza drzewo w  $F_i$  zawierające  $x$ , a  $T(x)$  oznacza drzewo w  $F$  zawierające  $x$ .

### 7.1 Główna idea

Jeśli usuwamy krawędź  $e = \{u, v\}$  taką że  $e \notin F$ , to  $F$  nie zmienia się, nie jest to zbyt ciekawy przypadek. Założmy więc, że usuwamy krawędź  $e$ , która na  $i$ -tym poziomie jest krawędzią drzewną. Dla każdego lasu  $F_j$ , gdzie  $j \geq i$  drzewo zawierające tę krawędź zostanie podzielone na dwa drzewa  $T_j(u)$  i  $T_j(v)$ . Szukamy najbliższej krawędzi niedrzewnej która połączy na nowo  $T(u)$  i  $T(v)$ , zbierając i testując zbiór  $S$  kandydujących krawędzi z poziomu  $i$ . Jeśli takiej krawędzi nie znajdziemy powtarzamy tę procedurę na poziomie  $i + 1$  aż do wyczerpania wszystkich poziomów.

Teraz opiszemy operację uaktualniania:

$delete(u,v)$ : usuwamy krawędź  $\{u,v\}$  z każdego miejsca w strukturze w którym występuje. Jeśli  $\{u,v\}$  jest krawędzią drzewną na poziomie  $i$  wtedy wywołujemy procedurę  $Replace(i,u,v)$ .

W algorytmie przedstawionym poniżej procedura  $Search(T_i(u))$  zwraca wszystkie niedrzewne krawędzie z poziomu  $i$ , które są incydentne z drzewem  $T_i(u)$ . Procedura  $Search$  zostanie dokładnie opisana w późniejszej części tego dokumentu.

$Replace(i, u, v)$

1. Wykonujemy  $Search(T_i(u))$ ,  $Search(T_i(v))$ .
  - Jeden z  $Search$  - ów się zatrzymał i zwrócił niepusty wynik, niech  $S$  oznacza wynik zwrócony przez ten  $Search$ .
  - $Search$  - e zwróciły puste wyniki wtedy  $S$  będzie zbiorem wszystkich niedrzewnych krawędzi z poziomu  $i$ .
2. Sprawdzamy każdą krawędź z  $S$  czy łączy  $T_i(u)$  i  $T_i(v)$ .
  - znaleźliśmy krawędź która łączy  $T_i(u)$  i  $T_i(v)$ , wprowadzamy tą krawędź do  $F$  oraz do każdego lasu  $F_j$ , gdzie  $j \geq i$ .
  - w  $S$  nie znaleźliśmy szukanej krawędzi. Jeśli  $i$  nie jest ostatnim poziomem wywołujemy  $Replace(i+1, u, v)$ . Jeśli  $i$  jest ostatnim poziomem procedura  $Replac$  kończy się, nie znajdujemy zastępczej krawędzi.

## 7.2 Struktura danych

Każde drzewo w dowolnym  $F_i$  i w  $F$  będzie reprezentowane jako ET-drzewo, zaowocuje to dwiema korzyściami:

- Stały czas potrzebny na sprawdzenie czy jakaś krawędź łączy dwa drzewa.
- Szybko możemy odnaleźć niedrzewne krawędzie w  $E_i$ , które są incydentne z zadany drzewem.

Aby zmniejszyć koszty będziemy trzymać tylko te  $F_i$  w pamięci, których  $i$  jest wielokrotnością  $m_{in}^{\frac{1}{3}} / \log n$ . Każde ET-drzewa jest przechowywane w B-drzewie o stopniu  $d$ . Dzięki temu będziemy mogli:

- Zaimplementować usuwanie i dodawanie krawędzi w  $F$  w czasie  $O(d \log_d n)$  (*split* lub *join* wykonany na ET-drzewie).
- Sprawdzać czy dwa wierzchołki są w tym samym drzewie w czasie  $O(\log_d n)$

Jesli przyjmujemy że  $d = n^\alpha$ , gdzie  $\alpha$  - dodatnia stała to:

- $O(d \log_d n) \Rightarrow O(d)$ .



- $O(\log_d n) \Rightarrow O(1)$ .

Struktura danych będzie składać się z następujących elementów:

1. Każda krawędź ma przypisany swój poziom  $i$ , oraz bit który informuje czy jest to krawędź drzewna czy też nie.
2. Niech  $k' = \max \left\{ m_{in}^{\frac{1}{3}} \log n, n^\epsilon \right\}$ , gdzie  $\epsilon \in (0, \frac{1}{3}]$ . Dla każdego drzewa w  $F$  reprezentujemy je jako ET-drzewo, które jest zaimplementowane za pomocą B-drzewa o stopniu  $k'$ .
3. Niech  $c = m_{in}^{\frac{1}{3}} \log n$ . Mapujemy każdy poziom  $i$  na poziom  $j$  taki, że  $f(i) = j$ , gdzie  $f(i) = c \lfloor \frac{i}{c} \rfloor$ . Dla każdego poziomu  $j$  takiego że  $c|j$ :
  - (a) Każde drzewo z  $F_j$  jest reprezentowane jako ET-drzewo i jest trzymane w B-drzewie o stopniu 2.
  - (b) Dla każdego wierzchołka  $v$  tworzymy listę  $L_j(v)$ , która zawiera:
    - Wszystkie niedrzewne krawędzie incydentne do  $v$  które są na jakimkolwiek poziomie  $i$ , gdzie  $i \in f^{-1}(j)$ .
    - Wszystkie drzewne krawędzie incydentne do  $v$  które są na jakimkolwiek poziomie  $i > j$ , gdzie  $i \in f^{-1}(j)$ .
  - (c) Zaznaczamy każde wystąpienie wierzchołka  $v$  którego lista  $L_j(v)$  nie jest pusta. Każdy wierzchołek w ET-drzewie jest zaznaczony jeżeli drzewo zakorzenione w nim zawiera zaznaczony wierzchołek.

### 7.3 Procedura *Search*

$Search(T_i(u))$  - zwraca wszystkie niedrzewne krawędzie z poziomu  $i$  incydentne z  $T_i(u)$ . Zaczynamy od przeszukania  $T_{f(i)}(u)$ , które jest poddrzewem  $T_i(u)$ . Sprawdzamy wszystkie krawędzie należące do  $L_i(v)$  dla każdego wierzchołka  $v$  w drzewie  $T_i(u)$ . Niedrzewne krawędzie z poziomu  $i$  są po kolei wybierane, a wszystkie drzewne krawędzie z poziomu  $i'$ ,  $f(i) < i' \leq i$  prowadzą do innych drzew wchodzących w skład  $F_{f(i)}$ . Wszystkie takie krawędzie drzewne prowadzą do innych drzew  $F_{f(i)}$ , które są poddrzewami  $T_i(u)$ . Wszystkie poddrzewa  $T_i(u)$  zostaną sprawdzone w ten sposób.

Procedura *Search* w pseudokodzie:

$Search(T_i(u))$

1.  $S' \leftarrow \emptyset$ ;
2.  $listadrzew \leftarrow T_{f(i)}(u)$ ;
3. Powtarzamy dopóki  $listadrzew \neq \emptyset$ ;
  - (a) Usuwamy jedno ET-drzewo z  $listadrzew$ ;

(b) Dla każdego zaznaczonego wierzchołka  $x$  w ET-drzewie oraz dla każdej krawędzi  $\{x, y\} \in L_{f(i)}(x)$ :

- if  $\{x, y\}$  jest krawędzią niedrzewną dodaj ją do  $S'$ ;
- else if  $\{x, y\}$  jest krawędzią drzewną na poziomie  $l \leq i$  to dodaj  $T_{f(i)}(y)$  do *listy drzew*;

4. Return  $S'$ ;

## 7.4 Analiza złożoności

Niech  $t$  oznacza liczbę krawędzi w  $F$  przed wykonaniem jakiejkolwiek aktualizacji w grafie. W koszt stworzenia struktury wliczamy kolejno:

1. Obliczenie minimalnego lasu rozpinającego. Zajmie to czas  $O(m + n \log n)$ .
2. Posortowanie i podzielenie wszystkich krawędzi niedrzewnych  $O(m \log m)$ .
3. Stworzenie ET-drzew dla  $F$ , oraz dla każdego lasu  $F_j$ , gdzie  $c|j$ . Zajmuje to czas proporcjonalny do wilkości każdego lasu czyli  $O(m'_{in} + t)$ .
4. Stworzenie wszystkich list  $L$  zajmuje czas proporcjonalny do liczby niedrzewnych krawędzi  $O(m'_{in})$ .

Koszt usunięcia niedrzewnej krawędzi: Usunięcie niedrzewnej krawędzi z któregośkolwiek poziomu może spowodować konieczność zrestartowania znacznika na wierzchołkach w niektórych ET-drzewach. W najgorszym przypadku będzie to restartowanie znacznika na wszystkich wierzchołkach na ścieżce aż do korzenia. Zajmie to maksymalnie czas  $O(\log n)$ .

Usunięcie i wstawienie drzewnej krawędzi do struktury:

W czas poświęcony na usunięcie drzewnej krawędzi wchodzi:

- Usunięcie krawędzi z odpowiedniego ET-drzewa wchodzącego w skład  $F$ . Czas  $O(k')$
- Usunięcie krawędzi z pojedynczego ET-drzewa  $O(\log n)$ . Trzeba to zrobić dla każdego lasu  $F_j$ , gdzie  $c|j$ . W sumie daje to czas  $O\left(\left(m'_{in}/k\right)/c \log n\right)$

Czas poświęcony na dodanie drzewnej krawędzi jest proporcjonalny do czasu potrzebnego na usunięcie drzewnej krawędzi.

Szukanie zastępczej krawędzi: Niech  $w(T)$  dla pewnego drzewa  $T$  w pewnym lesie  $F_i$  oznacza wagę drzewa  $\left(w(T) = \sum_{v \in T} |L_{f(i)}(v)|\right)$ . Aby przejść od korzenia do liścia w ET-drzewie w celu odnalezienia zaznaczonego wierzchołka, albo przejść od zaznaczonego liścia do korzenia potrzeba poświęcić  $O(\log n)$  czasu. Dlatego koszt  $Search(T_i(x))$  to  $O(w(T_i(x)) \log n)$ . Koszt wykonywania  $Replace$  to koszt  $Search$  plus koszt sprawdzenia każdej krawędzi ze zbioru  $S$  czy łączy na nowo dwa drzewa. Sprawdzenie odbywa się w czasie  $O(1)$ . Wielkość zbioru  $S$  to  $O(\min\{k, w(T)\})$ . Zauważamy że jest co najwyżej  $k$  krawędzi na każdym poziomie. Każda lista  $L_j(v)$  zawiera co

najwyżej krawędzie z  $c$  poziomów. Wnioskujemy więc, że  $w(T) \leq ck$ . Podsumowując koszt szukania zastępczej krawędzi to  $O\left(m'^{\frac{1}{3}} \log n + n^\epsilon\right)$ .

Zauważamy również że odpowiedź na pytanie *connected*( $u, v$ ) zostaje znaleziona w czasie  $O(1)$  używając ET-drzew dla przechowywania drzew z lasu  $F$ .

## Literatura

- [1] Monika Rauch Henzinger, Valerie King, Maintaining Minimum Spanning Trees in Dynamic Graphs.
- [2] Camil Demetrescu, Irene Finocchi, Giuseppe F. Italiano, Dynamic Graph Algorithms.
- [3] Robert E. Tarjan, Renato F. Werneck, Dynamic Trees in Practice.
- [4] Camil Demetrescu, Giuseppe F. Italiano, Dynamic Shortest Paths and Transitive Closure: Algorithmic Techniques and Data Structures.
- [5] Daniele Frigioni, Alberto Marchetti-Spaccamela, Umberto Nanni, Fully Dynamic Algorithms for Maintaining Shortest Paths Trees.
- [6] Daniele Frigioni, Alberto Marchetti-Spaccamela, Umberto Nanni, Incremental Algorithms for the Single-Source Shortest Path Problem.
- [7] Stephen Alstrup, Jacob Halm, Kristian de Lichtenberg, Mikkel Thorup, Maintaining Information in Fully Dynamic Trees with Top Trees.
- [8] Daniel D. Seator, Robert Endre Tarjan, A Data Structure for Dynamic Trees.
- [9] Stephen Alstrup, Jacob Halm, Kristian de Lichtenberg, Mikkel Thorup, Minimizing Diameters of Dynamic Trees.
- [10] Greg N. Frederickson, Data Structures for On-Line Updating of Minimum Spanning Trees.
- [11] Greg N. Frederickson, Ambivalent Data Structures for Dynamic 2-Edge Connectivity and  $k$  - Smallest Spanning Trees.